

(本试剂盒仅供体外研究使用， 不用于临床诊断！)

产品货号：E-BC-K018-S

产品规格：50 assays(24 samples)/100 assays(48 samples)

检测仪器：紫外-可见光分光光度计（554 nm）

Elabscience®D-木糖比色法测试盒

D-Xylose Colorimetric Assay Kit

使用前请仔细阅读说明书。如果有任何问题，请通过以下方式联系我们：

电话：400-999-2100

邮箱：biochemical@elabscience.cn

网址：www.elabscience.cn

具体保质期请见试剂盒外包装标签。请在保质期内使用试剂盒。

联系时请提供产品批号(见试剂盒标签)，以便我们更高效地为您服务。

用途

本试剂盒适用于检测动物血清、血浆、尿液中的 D-木糖含量。

检测原理

在强酸溶液中，D-木糖脱水产生糠醛，后者与间苯三酚反应生成粉红色化合物，在波长 554 nm 处比色测定，通过计算可得出 D-木糖含量。

提供试剂和物品

编号	名称	规格 1 (Size 1) (50 assays)	规格 2 (Size 2) (100 assays)	保存方式 (Storage)
试剂一 (Reagent 1)	间苯三酚试剂 (Phloroglucinol)	60 mL×3 瓶	60 mL×6 瓶	2-8 ℃ 避光 保存 6 个月
试剂二 (Reagent 2)	13.3 mmol/L D-木糖标准品 (13.3 mmol/L D-Xylose Standard)	1 mL×1 支	1 mL×1 支	2-8 ℃ 保存 6 个月
试剂三 (Reagent 3)	标准品稀释液 (Standard Diluent)	10 mL×1 瓶	10 mL×1 瓶	2-8 ℃ 保存 6 个月

说明：试剂严格按照上表中的保存条件保存，不同测试盒中的试剂不能混用。

对于体积较少的试剂，使用前请先离心，以免量取不到足够量的试剂。

所需自备物品

仪器：紫外-可见光分光光度计(554 nm)、涡旋混匀仪、微量移液器(1000 μL , 200 μL , 100 μL , 10 μL)、离心机。

耗材：枪头(1000 μL , 200 μL , 10 μL)、EP管(5 mL)、吸水纸、擦镜纸。

试剂：双蒸水或去离子水、生理盐水(0.9% NaCl)或PBS(0.01 M, pH 7.4)。

试剂准备

① 检测前，所有试剂需平衡至室温。

② 1.33 mmol/L标准品的配制：

按试剂二：试剂三为1:9的体积比混匀即可，2-8°C避光保存3个月。

样本准备

① 样本处理

血清血浆样本：可直接测定(如有悬浮物，可离心后测定)。

尿液样本：可直接测定(如有悬浮物，可离心后测定)。

② 样本的稀释

在正式检测前，需选择2-3个预期差异大的样本稀释成不同浓度进行预实验，根据预实验的结果，结合本试剂盒的线性范围：0.007-4 mmol/L，请参考下表稀释(仅供参考)：

D-木糖浓度 (mmol/L)	样本与稀释液的体积比	稀释倍数
<4	不稀释	1
4-40	1: 9	10
40-400	1: 99	100

注：稀释液为生理盐水（0.9% NaCl）或 PBS（0.01 M, pH 7.4）。

实验关键点

① 此实验必须在玻璃试管中进行，不可在 EP 管或其他试管中进行。

② 水浴温度控制在 95°C 以上，且水浴加热后要立刻进行流水冷却至室温。

操作步骤

① 试剂空白管：取 A mL 双蒸水，加入 10 mL 玻璃试管中。

测定空白管：取 A mL 未服 D-木糖的样本，加入 10 mL 玻璃试管中。

标准管：取 A mL 1.33 mmol/L D-木糖标准品，加入 10 mL 玻璃试管中。

测定管：取 A mL 服用 D-木糖后的测定样本，加入 10 mL 玻璃试管中。

(A 为样本加样量=标准品加样量=双蒸水加样量；血清参考加样量：
0.03 mL；尿液稀释 10 倍，参考加样量为 0.05 mL)

② 向步骤①中的各管加入 3 mL 试剂一，涡旋混匀。

③ 100°C 恒温水浴 4 min，取出后立刻流水冷却至室温。

④ 554 nm，1 cm 光径石英比色皿，双蒸水调零，测定 OD 值。

操作表

	试剂空白管	测定空白管	标准管	测定管
双蒸水(mL)	A			
未服 D-木糖样本(mL)		A		
1.33 mmol/L D-木糖标准品(mL)			A	
测定样本(mL)				A
试剂一(mL)	3	3	3	3
涡旋混匀，100°C水浴 4 min，取出后立刻流水冷却至室温。554 nm，1 cm 光径石英比色皿，双蒸水调零，测定 OD 值。				

结果计算

$$D\text{-木糖含量} = \frac{\Delta A_1}{\Delta A_2} \times c \times f$$

(mmol/L)

注解：

ΔA_1 : 测定 OD 值-测定空白 OD 值

ΔA_2 : 标准 OD 值-试剂空白 OD 值

c: 标准品浓度 (1.33 mmol/L)

f: 样本加入检测体系前稀释的倍数

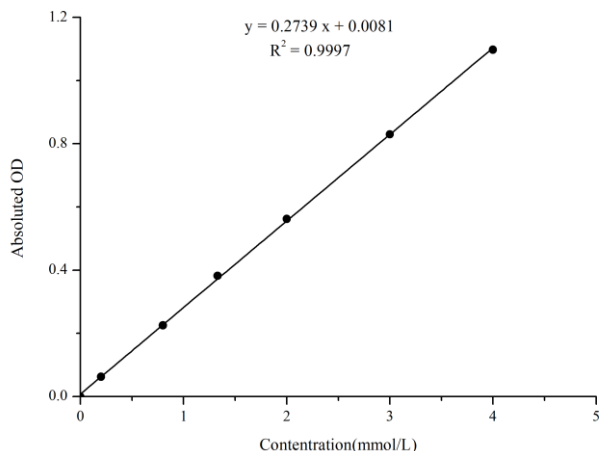
附录1 关键数据

1. 技术参数

检测范围	0.007-4 mmol/L	平均批间差	4.5 %
灵敏度	0.007 mmol/L	平均批内差	2.2 %
平均回收率	103 %		

2. 标准曲线(数据仅供参考)

标准曲线(数据仅供参考):



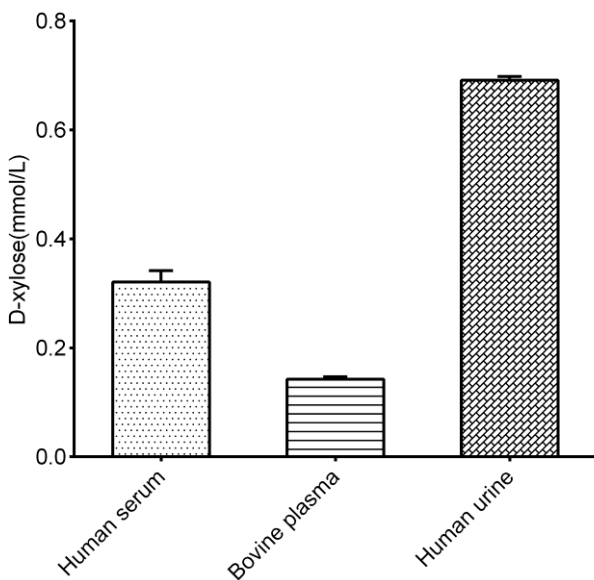
附录2 实例分析

例如检测人血清(数据仅供参考):

取0.03 mL人血清，按说明书操作，结果如下：试剂空白管平均OD值为0.043，标准管平均OD值为0.449，测定空白管平均OD值为0.067，测定管平均OD值为0.165，计算结果为：

$$\text{D-木糖含量} = (0.165 - 0.067) \div (0.449 - 0.043) \times 1.13 = 0.32 \text{ mmol/L}$$

按说明书操作，测定人血清(加样量0.03 mL)、牛血浆(加样量0.03 mL)、人尿液(稀释倍数10，加样量0.05 mL)中D-木糖含量(如下图)：



附录3 问题答疑

问题	可能原因	建议解决方案
复孔差异大	未严格按照说明书操作	严格按照说明书操作
样本和标准品显色很低	孵育时间太短	保证充足的孵育时间
	水浴温度低于 95°C	升高水浴温度 95°C以上
样本测不出值	样本本身含量较低	增加样本取样量，重新检测
样本测量结果 >4 mmol/L	样本浓度太高	选择适当稀释倍数，重新检测
读数数值低	用不恰当波长检测	选择正确的检测波长

声明

1. 试剂盒仅供研究使用，如将其用于临床诊断或任何其他用途，我公司将不对因此产生的问题负责，亦不承担任何法律责任。
2. 实验前请仔细阅读说明书并调整好仪器，严格按照说明书进行实验。
3. 实验中请穿着实验服并戴乳胶手套做好防护工作。
4. 试剂盒检测范围不等同于样本中待测物的浓度范围。如果样品中待测物浓度过高或过低，请对样本做适当的稀释或浓缩。
5. 若所检样本不在说明书所列样本类型之中，建议先做预实验证其检测有效性。
6. 最终的实验结果与试剂的有效性、实验者的相关操作以及实验环境等因素密切相关。本公司只对试剂盒本身负责，不对因使用试剂盒所造成的样本消耗负责，使用前请充分考虑样本可能的使用量，预留充足的样本。

附录4 客户发表文献

1. Mu X, Xiang Z, Xu Y, et al. Glucose metabolism controls human $\gamma\delta$ T-cell-mediated tumor immunosurveillance in diabetes[J]. *Cellular & Molecular Immunology*. IF:22.096
2. Tseng S.Ja. An acid degradable, lactate oxidizing nanoparticle formulation for non-small cell lung cancer virotherapy[J]. *Nano Today*. IF:18.962
3. Zhang H, Zheng Q, Guo T, et al. Metabolic reprogramming in astrocytes results in neuronal dysfunction in intellectual disability. *Mol Psychiatry*. 2022. IF:15.992
4. Salman T M, Iyanda M A, Alli-Oluwafuyi A M, et al. Telfairia occidentalis stimulates hepatic glycolysis and pyruvate production via insulin-dependent and insulin-independent mechanisms[J]. *Metabolism Open*, 2021, 10(1-10):100092. IF:8.694
5. Li Q, Peng J, Luo Y, et al. Far infrared light irradiation enhances A β clearance via increased exocytotic microglial ATP and ameliorates cognitive deficit in Alzheimer's disease-like mice. *J Neuroinflammation*. 2022; 19 (1):145. IF:7.573
6. Zeng X Peng, Wang L J, Guo L H, et al. Dasatinib ameliorates chronic pancreatitis induced by caerulein via anti-fibrotic and anti-inflammatory mechanism[J]. *Pharmacological Research*, 2019, 147, 104357. IF:5.574
7. Daily Dose of Bovine Lactoferrin Prevents Ethanol-Induced Liver Injury and Death in Male Mice by Regulating Hepatic Alcohol Metabolism and Modulating Gut Microbiota[J]. *Molecular Nutrition & Food Research*. IF:5.426
8. Wang Y, Xie W, Feng Y, et al. Epithelial-derived exosomes promote M2 macrophage polarization via Notch2/SOCS1 during mechanical ventilation. *Int J Mol Med*. 2022; 50 (1). IF:5.314
9. Yu C, Wang D, Tong Y, et al. Trans -Anethole Alleviates Subclinical Necro-Haemorrhagic Enteritis-Induced Intestinal Barrier Dysfunction and Intestinal Inflammation in Broilers. *Front Microbiol*. 2022; 13:831882. IF:5.259
10. Xu Y , Zhang Y , Xu Y , et al. Activation of CD137 signaling promotes macrophage apoptosis dependent on p38 MAPK pathway-mediated mitochondrial fission[J]. *The International Journal of Biochemistry & Cell Biology*, 2021 Jul; 136:106003. IF:5.085
11. Naseh A, Shirin B, Maryam M,et al.Attenuation of chronic arsenic neurotoxicity via melatonin in male offspring of maternal rats exposed to arsenic during conception: Involvement of oxidative DNA damage and inflammatory signaling cascades[J]. *Life Sciences* 266 (2021) 118876. IF:5.037

12. Zhong J, Sun P, Xu N, et al. Canagliflozin inhibits p-gp function and early autophagy and improves the sensitivity to the antitumor effect of doxorubicin[J]. Biochemical Pharmacology, 2020, 175: 113856. IF:4.96
13. Wang L J, He L, Hao L, et al. Isoliquiritigenin ameliorates caerulein-induced chronic pancreatitis by inhibiting the activation of PSCs and pancreatic infiltration of macrophages[J]. Journal of Cellular and Molecular Medicine, 2020. IF:4.486
14. Laurian R, Ravent J, Dementhon K, et al. Candida albicans Hexokinase 2 Challenges the Saccharomyces cerevisiae Moonlight Protein Model[J]. Microorganisms, 2021, 9(4):848. IF:4.128
15. Liu J, Duan P, Xu C Y, et al. CircRNA circ-ITCH improves renal inflammation and fibrosis in streptozotocin-induced diabetic mice by regulating the miR-33a-5p/SIRT6 axis[J]. Inflammation Research, 2021. IF:4.114
16. Yu H, Zhang L, Chen P, et al. Dietary bile acids enhance growth, and alleviate hepatic fibrosis induced by a high starch diet via AKT/FOXO1 and cAMP/AMPK/SREBP1 pathway in Micropterus salmoides[J]. Frontiers in Physiology, 2019, 10. IF:3.367
17. Sohini Sen, Shaunak Ghosh, Sayantan De, et al. Immunomodulatory and antimicrobial non-mulberry Antheraea mylitta silk fibroin accelerates in vitro fibroblast repair and regeneration by protecting oxidative stress[J]. RSC Advances, 2021 May; 11(31):19265-19282. IF:3.361
18. Li Jianda,Yuan Chen,Liu Peng et al. Red blood cells serve as a vehicle for PEDV transmission.[J] .Vet Microbiol, 2021, 257: 109081. IF:3.293
19. Ali A, Elsherbiny D, Azab S, et al. The diuretic amiloride attenuates doxorubicin-induced chemobrain in rats: Behavioral and mechanistic study[J]. Neurotoxicology, 2021, 88:1-13. IF:3.088
20. Yang H, Gan S, Jiang Z, et al. Protective effects of essential oil from Fructus Alpiniae zerumbet on retinal Müller gliosis via the PPAR- γ -p-CREB signaling pathway[J]. Chinese Medicine, 2020, 15(1): 4. IF:2.96
21. Chen Wenqi,Li Yuehua,Zhong Jing et al. circ-PRKCI targets miR-1294 and miR-186-5p by downregulating FOXK1 expression to suppress glycolysis in hepatocellular carcinoma.[J] .Mol Med Rep, 2021, 23: undefined. IF:2.952
22. Cui Y, Wang Y, Liu G. Protective Effect of Barbaloin in a Rat Model of Myocardial Ischemia Reperfusion Injury Through the Regulation of the CNPY2?PERK Pathway[J]. International Journal of Molecular Medicine, 2019. IF:2.928

23. Li H, Xia T, Guan Y, et al. Sevoflurane Regulates Glioma Progression by Circ_0002755/miR-628-5p/MAGT1 Axis[J]. *Cancer Management and Research*, 2020, 12: 5085. IF:2.886
24. Cheng F, Yu J, Zhang X, et al. CircSEC31A Promotes the Malignant Progression of Non-Small Cell Lung Cancer Through Regulating SEC31A Expression via Sponging miR-376a[J]. *Cancer Management and Research*, 2020, Volume 12:11527-11539. IF:2.886
25. Sanjeev S, Murthy M K, Devi M S, et al. Isolation, characterization, and therapeutic activity of bergenin from marlberry (*Ardisia colorata Roxb.*) leaf on diabetic testicular complications in Wistar albino rats[J]. *Environmental Science and Pollution Research*, 2019: 1-20. IF:2.8
26. Dede A, Arslanyolu M. The in vivo *Tetrahymena thermophila* extracellular glucose drop assay for characterization of mammalian insulin activity[J]. *European Journal of Protistology*, 2021, 79(1):125803. IF:2.432
27. Wang F, Chen H, Chen Y, et al. Diet-induced obesity is associated with altered expression of sperm motility-related genes and testicular post-translational modifications in a mouse model[J]. *Theriogenology*, 2020. IF:2.094
28. Bhargava P, Verma V K, Malik S, et al. Hesperidin Regresses Cardiac Hypertrophy by Virtue of PPAR- γ Agonistic, Anti-Inflammatory, Antiapoptotic, and Antioxidant Properties[J]. *Journal of biochemical and molecular toxicology*, 2019: e22283. IF:1.837
29. Adeyemi W J, Abdussalam T A, Abdulrahim A, et al. Elevated, sustained, and yet reversible biotoxicity effects of lead on cessation of exposure: Melatonin is a potent therapeutic option[J]. *Toxicology and Industrial Health*, 2020, 36(7): 477-486. IF:1.708
30. Ustunova S, Takir S, Yilmazer N, et al. Hydrogen sulphide and nitric oxide cooperate in cardioprotection against ischemia/reperfusion injury in isolated rat heart[J]. *in vivo*, 2020, 34(5): 2507-2516. IF:1.541